

Bassin Rhône-Méditerranée

Situation des ressources en eaux souterraines fin MAI 2022

DIRECTION RÉGIONALE
DE L'ENVIRONNEMENT,
DE L'AMÉNAGEMENT
ET DU DÉVELOPPEMENT

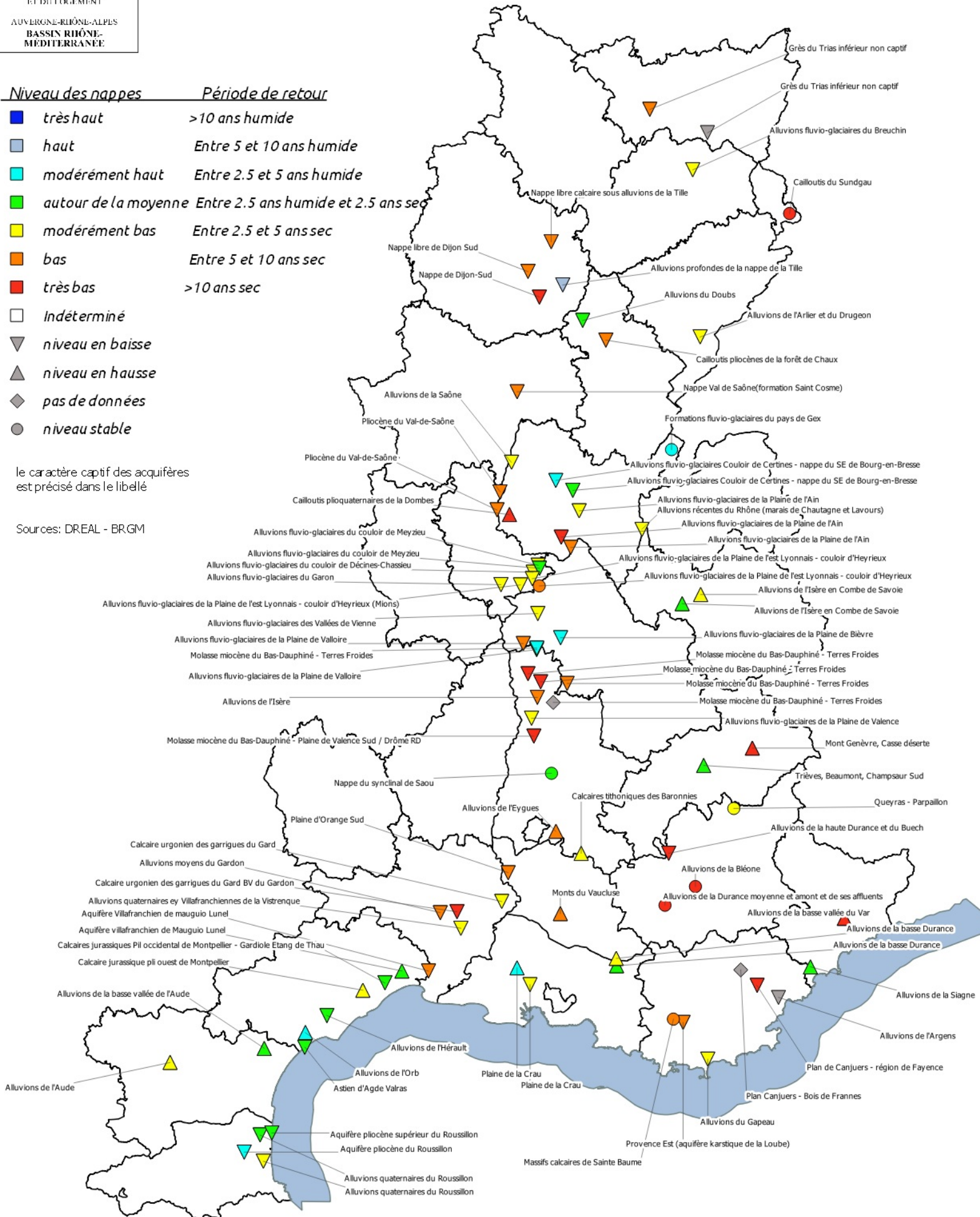
AUVERGNE-RHÔNE-ALPES
BASSIN RHÔNE-
MÉDITERRANÉE

Niveau des nappes Période de retour

- très haut >10 ans humide
- haut Entre 5 et 10 ans humide
- modérément haut Entre 2.5 et 5 ans humide
- autour de la moyenne Entre 2.5 ans humide et 2.5 ans sec
- modérément bas Entre 2.5 et 5 ans sec
- bas Entre 5 et 10 ans sec
- très bas >10 ans sec
- indéterminé
- ▼ niveau en baisse
- ▲ niveau en hausse
- ◆ pas de données
- niveau stable

le caractère captif des aquifères est précisé dans le libellé

Sources: DREAL - BRGM



BSH - Indicateurs Piézométrique Standardisé (IPS) Bassin Rhône-Méditerranée

Etat au : **01 juin 2022**

Relais bassin : DREAL bassin Rhône-Méditerranée
Producteurs(s) : BRGM et DREAL(s)

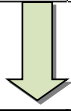
Niveau des nappes		
Code	Signification	Période de retour
7	Niveaux très hauts	> 10 ans humide
6	Niveaux hauts	Entre 5 et 10 ans humide
5	Niveaux modérément hauts	Entre 2,5 et 5 ans humide
4	Niveaux autour de la moyenne	Entre 2,5 ans humide et 2,5 ans sec
3	Niveaux modérément bas	Entre 2,5 et 5 ans sec
2	Niveaux bas	Entre 5 et 10 ans sec
1	Niveaux très bas	> 10 ans sec
I	Indéterminé	

Code BSS (indice / désignation)	Région	Dépt.	Commune	Lieu-dit (ou nom du point)	Lambert 2 Etendu (m)		Entité hydrogéologique (Réf RDRHF v1) Nom	Code	Indicateur national	Niveau des nappes
					X	Y				
1 03387X0040/S	LOR	88	RELANGES	piézomètre Srael de Relanges	872 960	2 353 300	Grès du Trias inférieur non captif	210b	0	2
2 03754X0015/F2	LOR	88	PLOMBIERE les Bains	F2 dit source La Napoléonienne	906 710	2 340 000	Grès du Trias inférieur non captif	210b	0	
3 05285X0374/P7	BFC	39	MOLAY	Tavaux	834 860	2 229 830	Alluvions du Doubs	102	23	4
4 05573X0084/F.6	BFC	25	DOMMARTIN	Houtaud	903 460	2 220 820	Alluvions de l'Arlier et du Drugeon	94i	23	3
5 04103X0022/FC	BFC	70	BREUCHES	Forage C	898 290	2 318 270	Alluvions fluvio-glaciaires du Breuchin	85	23	3
6 05007X0014/S	BFC	21	COLLONGES LES PREMIERES	Les Champs Courbes	823 040	2 250 420	Alluvions profondes de la nappe de la Tille	174a	23	6
7 04702X0019/SONDAG	BFC	21	SPOY	Les Espeliers	816 100	2 275 557	Nappe libre calcaire sous alluvions de la Tille	99 a	23	2
8 04447X0028/S	BFC	90	FLORIMONT	Etang Fourchu	955 010	2 293 220	Cailloutis du Sundgau	173	33	1
9 05553X0009/S2	BFC	39	OUSSIÈRE	Oussière	848 465	2 218 410	Cailloutis pliocènes de la forêt de Chaux	104a	33	2
10 04994X0229/S	BFC	21	CHENOVE	Gendarmerie	802 730	2 258 070	Nappe libre de Dijon Sud	174 b	33	2
11 05271X0017/SONDAG	BFC	21	IZEURE	La plantation F9	809 500	2 243 140	Nappe de Dijon-Sud	174b	33	1
12 05797X0145/FPZ	BFC	71	SAINT CYR	Le Petit Chorme de Vieil Moulin	796 970	2 187 840	Nappe Val de Saône(formation Saint Cosme)	174g	33	2
13 06288X0096/SB	ARA	01	GEX	Forage PzB - Belle Ferme	887 355	2 154 890	Formations fluvio-glaciaires du pays de Gex	177	0	5
14 06742X0001/VILLEN	ARA	01	VILLENEUVE	Forage de Villeneuve (Muzard) - BRGM	793 109	2 116 187	Cailloutis plioquaternaires de la Dombes	151a	0	1
15 07266X0052/PS4	ARA	73	AITON	piézomètre d'Aiton	905 060	2 070 480	Alluvions de l'Isère en Combe de Savoie	325a	0	3
16 07494X0026/CRUET	ARA	73	CRUET	piézomètre de Cruet - BRGM	894 310	2 065 030	Alluvions de l'Isère en Combe de Savoie	325a	0	4
17 06775X0010/BOURSI	ARA	01	ANGLEFORT	Piezomètre de Boursin - BRGM	870 540	2 108 160	Alluvions récentes du Rhône (marais de Chautagne et Lavours)	542	24	3
18 06256X0188/PZ	ARA	01	REPLONGES	Piezometre de Chanay	794 060	2 146 714	Alluvions de la Saône	151f	24	3
19 06741X0046/F1PLIO	ARA	69	ST GEORGES DE RENEINS	Forage F1 Pliocène - BRGM	785 852	2 118 865	Pliocène du Val-de-Saône	540b	24	2
20 06505X0080/FORC	ARA	69	TAPONAS	Piezomètre de Taponas	787 450	2 129 350	Pliocène du Val-de-Saône	540c	24	2
21 06512X0037/STREMY	ARA	01	ST REMY	Forage St Rémy - BRGM	819 980	2 136 280	Alluvions fluvio-glaciaires Couloir de Certines - nappe du SE de Bourg-en-Bresse	151a	34	5
22 06518X0026/P2	ARA	01	TOSSIAT	Forage de Tossiat (Mulaty)	829 960	2 130 600	Alluvions fluvio-glaciaires Couloir de Certines - nappe du SE de Bourg-en-Bresse	151a	34	4
23 06993X0226/MEXI_2	ARA	01	MEXIMIEUX	Forage de Combe Mercier (Meximieux 2)	823 425	2 103 250	Alluvions fluvio-glaciaires de la Plaine de l'Ain	151f	34	1
24 06993X0087/F6	ARA	01	SAINT-VULBAS	Piezometre - Station essence (St-Vulbas - BRGM 01)	829 029	2 097 307	Alluvions fluvio-glaciaires de la Plaine de l'Ain	94b	34	2
25 06754X0077/F1	ARA	01	SAINT-JEAN-LE-VIEUX	Piezometre - Gravière (St-Jean-le-Vieux - BRGM 01)	833 764	2 118 699	Alluvions fluvio-glaciaires de la Plaine de l'Ain	94b	34	3
26 07224X0102/S	ARA	69	GENAS	Piezometre - Sous voirie (Genas - BRGM 69)	807 251	2 082 640	Alluvions fluvio-glaciaires du couloir de Décines-Chassieu	152d	34	3
27 06995C0271/S	ARA	69	GENAS	piézomètre d'Azieu	810 100	2 086 770	Alluvions fluvio-glaciaires du couloir de Meyzieu	152c	34	3
28 06995C0208/S1	ARA	69	GENAS	Piezomètre des Bouvarets	810 920	2 084 985	Alluvions fluvio-glaciaires du couloir de Meyzieu	152c	34	4
29 07224X0106/S	ARA	69	ST PRIEST	piézomètre d'Heyrieux (Cheval-Blanc)	806 760	2 078 920	Alluvions fluvio-glaciaires de la Plaine de l'est Lyonnais - couloir d'Heyrieux	152e	34	3
30 07231C0252/BUCLAY	ARA	69	HEYRIEUX	piézomètre de Buclay	810 850	2 074 700	Alluvions fluvio-glaciaires de la Plaine de l'est Lyonnais - couloir d'Heyrieux	152e	34	2
31 07223C0113/S	ARA	69	CORBAS	piézomètre de Corbas (Pillon)	799 840	2 075 150	Alluvions fluvio-glaciaires de la Plaine de l'est Lyonnais - couloir d'Heyrieux (Mions)	152e	34	3
32 07221D0023/S	ARA	69	VOURLES	Piezomètre de Millery	788 520	2 075 240	Alluvions fluvio-glaciaires du Garon	621d	34	3
33 08435X0010/NO8	ARA	26	SAOU	Forage le Pertuis	818 927	1 965 401	Nappe du synclinal de Saou	179	0	4
34 08915X0026/PZ	ARA	26	NYONS	piézomètre de Nyons	821 830	1 931 610	Alluvions de l'Eygues	155a	0	2
35 09153X0024/S	ARA	26	PLAISANS	Piézo. d'Aygues-Astaud (Les Eygaliers)	836 645	1 918 840	Calcaires tithoniques des Baronnies	544e	0	3

38	07704X0079/S	ARA	26	MANTHES	Piézo. de la source de Manthes (Lapaillanche)	809 650	2 037 490	Alluvions fluvio-glaciaires de la Plaine de Valloire	152k	25	IG n°25	4
39	07948X0038/S	ARA	26	ROMANS-SUR-ISERE	Piézo. de Romans (Les Balmes - La Ferme)	810 313	2 009 638	Alluvions de l'Isère	152m	25		2
40	08184X0084/PZ1	ARA	26	VALENCE	piézomètre Valence 2 (Nord Ferme Agron)	807 001	1 997 439	Alluvions fluvio-glaciaires de la Plaine de Valence	154a	25		3
41	07464X0005/SM3	ARA	38	MOIDIEU-DETOURBE	Forage de Moidieu-Détourbe (Le Grand Champ)	810 150	2 058 550	Alluvions fluvio-glaciaires des Vallées de Vienne	152p	25		3
42	07703X0043/SDC	ARA	38	BOUGE-CHAMBALUD	forage de Bouge-Chambalud (Bel Air)	801 824	2 040 982	Alluvions fluvio-glaciaires de la Plaine de Valloire	152k	25		2
43	07476X0029/S	ARA	38	PENOL	piézomètre Bois des Burettes	823 560	2 044 566	Alluvions fluvio-glaciaires de la Plaine de Bièvre	152k	25	5	
36	07944X0049/S	ARA	26	MARGES	Puit Deroux	812 155	2 018 705	Molasse miocène du Bas-Dauphiné - Terres Froides	152i	35	IG n°35	1
37	08188X0045/BERN	ARA	26	MONTMEYRAN	Piezomètre de Montmeyran (Bernoir)	808 450	1 986 990	Molasse miocène du Bas-Dauphiné - Plaine de Valence Sud / Drôme RD	152i	35		1
38	07953X0104/P	ARA	38	SAINT BONNET-DE-CHAVAGNE	Puits de Fontchaude (Saint-Bonnet-de-Chavagne - BRGM 38)	827 585	2 017 894	Molasse miocène du Bas-Dauphiné - Terres Froides	152i	35		2
39	07707X0144/F	ARA	26	CLAVEYSON	Piezometre de Chevaux (Claveyson - BRGM 26)	804 750	2 023 357	Molasse miocène du Bas-Dauphiné - Terres Froides	152i	35		1
40	07955X0099/P1	ARA	26	CHATUZANGE-LE-GOUBET	Piezometre de Veolia (Chatuzange le Goubet - BRGM 26)	819 600	2 006 769	Molasse miocène du Bas-Dauphiné - Terres Froides	152i	35		
41	07704X0007/F	ARA	26	MANTHES	Forage de l'île (Manthes - BRGM 26)	809 747	2 038 374	Molasse miocène du Bas-Dauphiné - Terres Froides	152i	35	5	
42	09934X0087/P18B	PACA	13	ST MARTIN DE CRAU	Le Mas d'Archimbaud (P18B)	799 788	1 851 732	Plaine de la Crau	157	0	5	
43	10193X0151/P29B	PACA	13	ISTRES	Peyre-Estève (P29B)	807 453	1 841 949	Plaine de la Crau	157	0	3	
44	09952X0082/F9B	PACA	13	MEYRARGUES	Péage Pont de Pertuis	857 870	1 853 429	Alluvions de la basse Durance	329f	29	4	
45	09952X0093/PIEZ	PACA	84	PERTUIS	Campagne Martelly	857 624	1 857 733	Alluvions de la basse Durance	329f	29	3	
46	09436X0138/1P	PACA	5	LA BRILLANNE	Princesse	885 806	1 888 962	Alluvions de la Durance moyenne et amont et de ses affluents	329e	29	1	
49	09672X0036/FO	PACA	84	FONTAINE-DE-VAUCLUSE	Sorgomètre, vasque supérieure	824 783	1 883 573	Monts du Vaucluse	162	29	IG n°29	2
50	10453X0295/P4795	PACA	83	LA ROQUEBRUSSANNE	Chemin de Cuers	896 946	1 820 685	Provence Est (aquifère karstique de la Loube)	552	29		2
51	10241X0173/F	PACA	83	LA MOTTE	Combaron	939 967	1 842 688	Plan de Canjuers - région de Fayence	168c	29		1
52	09978X0023/HY	PACA	83	CHATEAUDOUBLE	Nartuby, Source des Frayères	930 341	1 851 639	Plan Canjuers - Bois de Frannes	167d	29		1
53	10452X0232/6	PACA	83	MAZAUGUES	source Le Caramy	891 265	1 822 558	Massifs calcaires de Sainte Baume	164a	29		2
47	09441X0013/P1	PACA	4	MALLEMOISSON	Le Stade	903 460	1 900 062	Alluvions de la Biéone	329c	29	1	
48	09172X0094/P	PACA	4	SISTERON	Puits Isnard	887 732	1 919 317	Alluvions de la haute Durance et du Buech	329b	29	1	
59	08472X0007/F-1	PACA	5	LA ROCHE DE RAME	Usine	935 976	1 981 126	Mont Genève, Casse déserte	546j	0	1	
60	08466X0009/F2	PACA	5	ST JEAN ST NICOLAS	Les Ricoux	907 683	1 970 754	Trièves, Beaumont, Champsaur Sud	545a	0	4	
61	08944X0003/HY	PACA	4	LE LAUZET - UBAYE	La source Pruneyret	925 470	1 945 810	Queyras - Parpaillon	546k	0	3	

54	09145X0058/N256	PACA	84	ORANGE	La Combe	794 163	1 907 144	Plaine d'Orange Sud	155b	0		2
55	BSS003YHFM	PACA	83	PUGET-SUR-ARGENS	L'Argens	952 495	1 835 703	Alluvions de l'Argens	332	30	IG n°30	1
56	10651X0293/P134B	PACA	83	HYERES	Le Moulin Premier (P134B)	911 548	1 799 348	Alluvions du Gapeau	333	30		3
57	09995X0028/F	PACA	6	PEGOMAS	Le Boutéou	970 976	1 853 723	Alluvions de la Siagne	331	30		4
58	09724X0023/P2	PACA	6	GILETTE	Le Devens (P2)	990 486	1 882 246	Alluvions de la basse vallée du Var	330	30		1
62	09405X0229	OCC	30	ROCHEFORT DU GARD	piézomètre de Rochefort	790 541	1 890 360	Calcaire urgonien des garrigues du Gard	149a2	26	IG n°26	3
63	09395X0065/NICOLA	OCC	30	SAINTE ANASTASIE *	piézomètre Nicolas	764 488	1 884 139	Calcaire urgonien des garrigues du Gard BV du Gardon	149b	26		1
64	09388X0052/VIGNOT	OCC	30	LA CALMETTE	piézomètre de Vignot	754 727	1 883 488	Alluvions moyens du Gardon	336c	26		2
65	09652X0199/COURB2	OCC	30	NÎMES / COURBESSAC *	Piezomètre Courbessac	766 813	1 874 520	Alluvions quaternaires ey Villafanchiennes de la Vistrenque	150a	26		3
66	09917X0192	OCC	34	MARSILLARGUES / P5	Piezomètre P5CEHM	748 165	1 849 435	Aquifère Villafranchien de mauguio Lunel	328e	26	2	
67	09915X0181/AUNES	OCC	34	SAINT-AUNES	piézomètre de Saint Aunes	732 653	1 849 259	Aquifère villafranchien de Mauguio Lunel	328e	26	4	
68	09907X0321/MLS3	OCC	34	ST JEAN DE VEDAS *	Piezomètre Midi Libre	722 815	1 842 290	Calcaires jurassiques Pli occidental de Montpellier - Gardiolo Etang de Thau	143c	26	4	
69	10162X0226/V	OCC	34	COURNONSEC *	piézomètre de Vène	709 938	1 837 862	Calcaire jurassique pli ouest de Montpellier	143a	26	3	
70	10157X0104/1777	OCC	34	FLORENSAC *	piézomètre 1777	689 086	1 822 874	Alluvions de l'Hérault	334b	27	IG n°27	4
71	10405X0124	OCC	34	SERIGNAN	Sérignan F17	676 631	1 812 950	Alluvions de l'Orb	336	27		5
72	10405X0171	OCC	34	VALRAS	Valras	676 325	1 804 274	Astien d'Agde Valras	226	27		4
73	10592X0012	OCC	11	COUFFOULENS	piézomètre de Couffoulens	597 806	1 794 807	Alluvions de l'Aude	337b	27		3
74	10396X0162/F5	OCC	11	MOUSSAN *	piézomètre de Védillan	652 664	1 803 412	Alluvions de la basse vallée de l'Aude	337a	27	4	
75	10911X0219/HIPPO2	OCC	66	ST HIPPOLYTE	Piezomètre Hippo	650 708	1 752 923	Alluvions quaternaires du Roussillon	146	28	IG n°28	4
76	10972X0003/ALENYA	OCC	66	ALENYA	Alenya	652 718	1 737 620	Alluvions quaternaires du Roussillon	146	28		3
77	10908X0263/FIGUER	OCC	66	PERPIGNAN	Piezomètre Figuières	641 491	1 742 808	Aquifère pliocène du Roussillon	225	28		5
78	10912X0112/BAR3	OCC	66	LE BARCARES PN3	Piezomètre Barcarès plage N3	657502	1754148	Aquifère pliocène supérieur du Roussillon	225	28		4

Evolution récente	
Code	Signification
H ↑	Hausse
S -	Stable
B ↓	Baisse
I	Indéterminé



Evolution récente	Commentaires indicateurs ponctuels	Commentaire par indicateur global
B		
B ↓	Pas assez d'années de suivi sur le mois de mai pour le calcul de l'IPS	
B ↓		Les très faibles précipitations du mois de mai, confirme la baisse générale des niveaux. Les nappes superficielles ont des niveaux autour de la moyenne à modérément bas. La nappe des alluvions profondes présente toujours un niveau haut, car c'est une nappe très inertielle avec une variation pluriannuelle. La nappe libre calcaire sous alluvions de la Tille quant à elle est toujours en niveau bas.
B ↓		
B ↓		
B ↓		
B ↓		
S -		
B ↓		
B ↓		
B ↓		
B ↓		
S	Les nappes du Pays de Gex, évoluent différemment selon les sillons au cours du mois de mai. Au niveau du sillon de l'Oudar, ils se stabilisent et restent hauts pour la haute période. Dans le secteur du sillon de Greny, les niveaux sont nettement en baisse et restent cantonnés à des valeurs très basses. La situation pour ce sillon montre une baisse continue de la nappe d'année en année. La situation reste identique à celle du mois précédent.	Les nappes présentent des niveaux bas à très bas en baisse. Les faibles précipitations du mois de mai n'ont eu aucun impact sur les nappes.
H	Les données pour la nappe des cailloutis plio-quadernaires de la Dombes sont incomplètes et disponibles uniquement pour la partie ouest de la nappe où les niveaux évoluent selon une hausse rapide au cours du mois mais restent cependant toujours très bas pour la période. La représentativité du seul point de suivi disponible pose question	
H	La nappe d'accompagnement de l'Isère en Combe de Savoie, suit une hausse modérée sur le mois de mai. Les niveaux se situent autour de valeurs modérément basses à moyenne. La situation change peu par rapport au mois précédent.	
H		
B	La nappe des alluvions de la plaine du Rhône (marais de Lavours-Chautagne), est en baisse au cours du mois de mai. Les niveaux décrochent sur la partie Lavours, où ils passent de moyen à bas. Dans la nappe du Rhône, côté Chautagne ils sont soutenus par le niveau du fleuve et se maintiennent au tour de valeurs modérément basses. La situation se dégrade.	Les nappes réactives de la Saône aval et du Rhône amont, régressent un peu différemment au cours du mois de mai. Sur la vallée de la Saône, la baisse est rapide et la situation se dégrade avec des niveaux bas. Sur le Rhône amont les niveaux se stabilisent sur le mois et sont modérément bas.
B	La nappe des alluvions de la Saône, est en baisse très marquée au cours du mois de mai et présente des niveaux moyens modérément bas. La situation est proche de celle du mois précédent.	
B	La nappe du Pliocène du Val de Saône, baisse de façon rapide au cours du mois de mai. Les niveaux moyens du mois correspondent à une situation basse. La situation se dégrade un peu	
B		
B	La nappe des alluvions fluvioglaciers du couloir de Certines, poursuit selon baisse régulière au cours du mois de mai. La situation de la nappe se dégrade un peu par rapport au mois précédent avec des niveaux qui se maintiennent autour de valeurs moyennes à modérément hautes	Les nappes d'alluvions fluvioglaciers du bassin du Rhône amont poursuivent des évolutions en baisse généralisée et bien marquée. La situation la plus préoccupante concerne la basse vallée de l'Ain avec des niveaux localement très bas. Dans l'Est Lyonnais les niveaux passent pratiquement partout en dessous des moyennes de référence. Seul la nappe du couloir de Certines parvient à se maintenir en situation favorable.
B		
B	La nappe des alluvions fluvioglaciers de la plaine de l'Ain évolue selon une baisse assez rapide au mois de mai. La situation de la nappe se dégrade encore avec des niveaux bas à très bas généralisés à l'ensemble de la plaine. Les niveaux observés sont en dessous de ceux rencontrés au cours des 4 à 5 dernières années.	
B		
B		
B	La nappe de l'Est Lyonnais dans le couloir de Meyzieu, la baisse se poursuit au cours du mois de mai. Les niveaux moyens du mois sont modérément bas en zone d'influence directe des pompages d'irrigation et restent proches de la moyenne à l'amont. La situation se dégrade progressivement. Sur le couloir de Décines, la baisse se poursuit selon un rythme assez rapide. Les niveaux passent de moyens à modérément bas. La situation du couloir se dégrade par rapport au mois précédent. Sur le couloir d'Heyrieux, la situation n'est pas homogène selon les secteurs. A l'extrême amont les niveaux, sous influence de la molasse miocène, restent stables autour de valeurs basses. Sur la partie centrale du couloir les niveaux moyens du mois sont inférieurs à ceux du mois précédents et restent modérément bas. Sur le secteur aval Ozon, la baisse des niveaux s'accroît encore et les niveaux passent de moyens à modérément bas. La situation pour ce couloir se dégrade progressivement mais les niveaux restent cependant au-dessus de ceux observés le même mois sur les 4 dernières années	
B	La nappe des alluvions fluvioglaciers de la vallée du Garon est en mai orientée à la baisse de façon assez marquée. Les niveaux passent en dessous des moyennes de la période. La situation de la nappe se dégrade par rapport au mois précédent. Néanmoins on reste au-dessus des niveaux observés au cours des 5 dernières années	
S	La nappe du synclinal de Saou (système mixte karst-alluvions) a repris une baisse continue et régulière sur mai. Les niveaux moyens restent dans la moyenne pour cette période. La situation ne change pas par rapport au mois précédent.	
H	La nappe des alluvions de la vallée de l'Eygues après une hausse très nette de mi-avril à mi-mai, repart très rapidement à la baisse en deuxième moitié du mois de mai. Même si les niveaux moyens du mois sont un peu supérieurs à ceux du mois précédents, ils restent bas pour la période et la situation de la nappe ne s'améliore pas.	
H	La nappe des calcaires karstifiés du Diois-Baronnies après un épisode de crue à fin avril, reprend une évolution à la baisse très progressive en mai. Les niveaux moyens du mois passent d'une situation basse à modérément basse. La situation de la nappe s'améliore.	

B	La nappe des alluvions fluvio-glaciaires de la Plaine de Valloire suit une baisse continue au cours du mois de mai. La situation semble se dégrader dans la partie aval de la nappe avec des niveaux qui passent sous les références moyennes du mois. Au niveau des sources de Manthes la situation reste moyenne.	Pour les nappes d'alluvions fluvio-glaciaires du Rhône moyen la situation se dégrade progressivement, voire assez rapidement, notamment en Plaine de Romans. Seule la nappe de Bièvre Liers Valloire se distingue en parvenant à se maintenir en situation moyenne, cependant la baisse généralisée des niveau à un rythme rapide laisse craindre une situation très prochainement défavorable.
B	La nappe des alluvions anciennes de l'Isère en Plaine de Romans évolue selon une baisse qui s'accroît très nettement au cours du mois de mai, liée à l'influence de prélèvements. Les niveaux moyens du mois passent de modérément bas à bas, La situation de la nappe se dégrade nettement	
B	La nappe des alluvions quaternaires en Plaine de Valence suit une tendance à la baisse assez rapide au cours du mois de mai. Les niveaux moyens restent représentatifs d'une situation modérément basse dans la continuité de celle du mois précédent.	
B	La nappe des alluvions fluvio-glaciaires des vallées de Vienne évolue selon une baisse rapide au cours du mois de mai. Les niveaux passent de moyens à modérément bas. La situation se dégrade progressivement et rapidement	
B	Les nappes des alluvions fluvio-glaciaires en Plaine de Bièvre-Liers-Valloire poursuivent toute une évolution orientée à la baisse plus ou moins marquée tout au long du mois de mai. Au niveau de la Plaine de Valloire, la situation semble se dégrader dans la partie aval de la nappe avec des niveaux qui passent sous les références moyennes du mois. Au niveau des sources de Manthes la situation reste moyenne. En Bièvre, la baisse se poursuit également et semble s'accroître en partie amont mais les niveaux restent dans les moyennes de saison ou modérément hauts comme sans changement majeur par rapport au mois précédent. Dans la Plaine du Liers la baisse est assez rapide, mais les niveaux restent encore dans des gammes de valeurs moyennes pour le mois. D'une façon générale on reste pour la nappe sur niveaux au-dessus de ceux observés sur les 5 dernières années.	
B	La nappe de la molasse miocène évolue partout selon une baisse bien marquée au cours du mois mai. Au niveau des collines du Nord Drôme et Sud Grésivaudan en Isère, les niveaux sont bas à très bas, avec des minima historiques basse dans le Nord Drôme. Dans la Plaine de Valence, les niveaux passent de bas à très bas. La nappe de la molasse dans le secteur de la Valloire fait exception, avec des niveaux encore hauts pour la période. La situation se dégrade encore un peu par rapport au mois précédent et demeure particulièrement critique, dans le nord Drôme, le Sud Grésivaudan et dans la Plaine de Valence	La nappe de la molasse miocène reste en situation critique sur le mois de mai avec des niveaux très bas qui se généralisent notamment dans la Plaine de Valence ainsi que dans les collines Nord-Drôme. Les niveaux observés résultent d'une baisse progressive sur plusieurs années consécutives et atteignent même des niveaux historiquement bas dans les collines du nord Drôme et la Plaine de Valence. Compte tenu de la grande inertie de la nappe aucune amélioration n'est attendue à court terme. La situation est très contrastée, au niveau de la Valloire où les niveaux moyens restent hauts pour la période.
B		
B		
B		
I		
B		
H ↑	Seuls les secteurs soumis à irrigation gravitaires montrent en mai 2022 des niveaux piézométriques qui augmentent au long du mois. La comparaison avec l'an passé montre que les niveaux en mai 2022 sont partout similaires à ceux de mai 2021, sauf dans le secteur d'Arles, où les niveaux de cette année demeurent légèrement inférieurs (-0,2 à -0,4 m). Même en bordure de la nappe (secteur d'Aureille) qui avait beaucoup baissé cet hiver, le niveau fin mai a retrouvé celui de l'an passé. Hors des secteurs d'irrigation gravitaires (Arles ou Istres), la baisse régulière, initiée cet hiver se poursuit au même rythme en mai.	
B ↓	Les niveaux moyens du mois de mai 2022, traduits par l'Index Piézométrique Standardisé (IPS) sont variables selon les secteurs de la nappe : au-dessus des niveaux moyens (niveaux "modérément hauts" à "très hauts") dans l'ouest ou le centre est de la nappe, en dessous des niveaux moyens (niveaux "modérément bas") dans le nord (sauf un point à Saint-Martin-de-Crau, où les niveaux sont "hauts", probablement du fait de l'excellent d'irrigations gravitaires). À noter le cas particulier du couloir de Miramas, où les niveaux sont "très bas".	
H ↑	En nappe de basse Durance, alors que les niveaux avaient baissé régulièrement entre janvier et avril, en ce mois de mai 2022, les points de suivi montrent presque tous une stabilité voire une remontée de quelques décimètres. Celle-ci n'est pas imputable à la situation hydroclimatique (peu ou pas de pluies sur le bassin), mais doit être mise en face de la reprise probablement intense des irrigations gravitaires.	Une petite crue a répondu dans les aquifères karstiques notamment aux précipitations du début du mois, mais celles-ci n'ont pas permis d'inverser la tendance au tarissement des nappes et des écoulements en milieu karstique. Les nappes alluviales font montre d'une certaine inertie intra annuelle et sont plus sensibles aux recharges locales par apport d'eau excédentaire issue de l'irrigation gravitaire. Certaines sont stables voire orientées à la hausse (certains secteurs de la nappe de basse Durance), mais la plupart des points montrent quand même une baisse piézométrique. Les niveaux sont statistiquement en dessous des médianes, et ce souvent d'une manière sensible et dans le karst.
H ↑	En nappe de moyenne Durance, la situation est plus homogène et en phase avec la situation hydroclimatique tendue : l'ensemble des niveaux est soit stable (secteur plus en aval), soit en baisse légère au long du mois (secteur plus en amont) de 10 à 20 cm.	
S -	Les niveaux piézométriques moyens mensuels sont plutôt inférieurs aux niveaux moyens en basse Durance (Niveaux IPS "modérément bas" à Cavillon, Pertuis, Sénas ou Cheval-Blanc à "autour de la moyenne" autour de Meyrargues, le Puy-Sainte-Réparate ou Plan d'Orgon). En moyenne Durance, la situation est plus contrastée, avec des niveaux IPS parfois sensiblement en-dessous des niveaux moyens (niveaux "bas" dans les secteurs de Malijai ou de Peyruis, allant jusqu'à "très bas" à la Brillanne, mais aussi "hauts" dans les secteurs de Malijai ou de Manosque.	
H ↑		
B ↓	La courbe des débits au Sorgomètre de mai 2022 à la Fontaine-de-Vaucluse n'a enregistré qu'une petite crue durant le mois. Après que le mois ait débuté à un débit de 14,3 m3/s, cette crue a porté le débit de 10,7 m3/s le 8 mai à 13,6 m3/s le 11 mai. Après cet épisode, le tarissement a repris et le mois s'est terminé à un débit de 7,9 m3/s.	
B ↓	Le débit moyen du mois (10,9 m3/s) est très proche du débit décennal sec de la série, qui remonte à 1966 (10,4 m3/s) et très inférieur à celui de mai 2021 (plus de 24 m3/s).	
I	La situation est similaire pour les systèmes karstiques du Var et des Alpes-Maritimes : une petite crue n'a permis que de retarder un peu le tarissement des ressources au cours de la première moitié du mois, sans inverser la tendance à la baisse. Les débits moyens mensuels sont faibles et souvent proches, voire inférieurs aux débits quinquennaux secs.	
S -		
S -		
B ↓	Les nappes de la haute Durance (+ 10 cm) et surtout du Drac amont (+ 80 cm) sont les seules qui aient connu un épisode de crue durant le mois de mai. Les autres nappes alluviales (Buëch, Bléone par exemple) ont vu les niveaux piézométriques baisser lentement mais continûment.	
H ↑	Les niveaux moyens de mai 2022 sont plutôt nettement au-dessous des niveaux moyens statistiques : selon la terminologie de l'IPS ils sont "bas" (nappe du Buëch) à "très bas" (haute Durance), sauf dans la nappe du Drac amont, où ils sont "autour de la moyenne".	
S -		

B ↓	<p>En mai 2022, les nappes alluviales de Vaucluse ont globalement baissé d'environ 20 cm entre le début et la fin du mois, tandis que la nappe du Miocène du Comtat, est demeurée stable. En outre, les niveaux cette année sont similaires (nappe du Miocène) ou légèrement inférieurs à ceux de mai 2021 (de 10 à 20 cm) dans les nappes des plaines de Vaucluse. La nappe du Rhône connaît une tendance à la baisse durant le mois, à l'exception du secteur d'Avignon, qui montre une montée de la piézométrie de 10 à 20 cm au long du mois. Les niveaux de mai 2022 sont comparables ou légèrement inférieurs à ceux de mai 2021.</p> <p>Statistiquement, les niveaux mensuels dans les nappes alluviales de Vaucluse sont quasiment tous dans des positions sensiblement inférieures aux niveaux moyens : à part dans le secteur d'Avignon où ils sont plutôt hauts, la nappe du Rhône rencontre des niveaux soit "bas" voire "très bas" (Secteur de Mornas). Pour les nappes des plaines de Vaucluse, la situation est similaire, les niveaux étant presque partout inférieurs aux niveaux moyens (niveaux "bas" ou "très bas" de l'IPS).</p>	
B ↓	<p>Quelle que soit la situation géographique des nappes alluviales côtières, les niveaux ont peu varié en mai 2022. Seuls les secteurs proches des zones de prélèvements (nappes de la Giscle et de la Môle par exemple) montrent une influence notable de ceux-ci. La nappe de la basse vallée du Var, dans le secteur de Gilette est remontée durant tout le mois, mais après une baisse très importante constatée entre juin et octobre 2021, à peine compensée par des précipitations hivernales insuffisantes, les niveaux de mai 2022 sont très inférieurs à ceux de mai 2021. Ailleurs, la situation n'est pas aussi contrastée, et les niveaux de cette année sont tout à fait comparables à ceux de l'an passé.</p> <p>Sur le plan statistique, les niveaux de l'IPS vont de "autour de la moyenne" (pour les nappes de Berre ou de la Stagne) à "très bas" (pour la nappe de l'Huveaune), en passant par les niveaux "bas" pour les nappes de la Giscle-Môle et du Gapeau.</p>	
B ↓		<p>Nappes en baisse continue, sans crue notable, peu rechargées par de rares précipitations hivernales. Impact de plus en plus sensible des prélèvements. Niveaux moyens de mai 2022 comparables à ceux de mai 2021. Les niveaux sont pratiquement partout sensiblement inférieurs aux niveaux médians pour un mois de mai.</p>
H ↑		
H ↑		
En baisse	<p>mai, les niveaux piézométriques sont en baisse. La situation de l'aquifère reste à un niveau modérément</p>	
En baisse	<p>En contexte de très faibles précipitations au mois de mai, les niveaux piézométriques sont en baisse. La situation de l'aquifère se détériore et atteint un niveau très bas (10 ans secs).</p>	<p>En contexte de très faibles précipitations dans le Gard et l'Hérault au mois de mai, les niveaux piézométriques sont en baisse généralisée. Globalement les situations se détériorent. Elle sont comprises entre un niveau très bas (10 ans secs) et modérément bas (2,5 ans secs) sur les karsts nîmois et entre un niveau bas (5 ans secs) et haut (5 ans humides) sur les karsts montpelliérains.</p>
En baisse	<p>En contexte de très faibles précipitations au mois de mai, les niveaux piézométriques sont en baisse. La situation de l'aquifère se détériore et atteint un niveau bas (5 ans secs).</p>	
B ↓	<p>les niveaux piézométriques sont en baisse. Le niveau piézométrique moyen correspond à des niveaux</p>	
En baisse	<p>En contexte de très faibles précipitations au mois de mai, les niveaux piézométriques sont en baisse. La situation de l'aquifère se détériore et atteint un niveau bas (5 ans secs).</p>	
En baisse	<p>En contexte de très faibles précipitations au mois de mai, les niveaux piézométriques sont en baisse. La situation de l'aquifère reste à un niveau moyen.</p>	
En baisse	<p>En contexte de très faibles précipitations au mois de mai, les niveaux piézométriques sont en baisse. La situation de l'aquifère se détériore et atteint un niveau moyen.</p>	
En baisse	<p>En contexte de faibles précipitations au mois de mai, les niveaux piézométriques sont en baisse. La situation de l'aquifère se détériore et atteint un niveau modérément bas (2,5 ans secs).</p>	
En baisse	<p>mai, les niveaux piézométriques sont en baisse. La situation de l'aquifère se détériore et atteint un niveau</p>	
En baisse	<p>Malgré le contexte de très faibles précipitations au mois de mai, les niveaux piézométriques sont en baisse. La situation de l'aquifère se détériore et atteint un niveau modérément haut (2,5 ans humides).</p>	
B ↓	<p>le week-end de l'Ascension, par l'afflux de touristes dans les campings (-75 cm en 4 jours). Le niveau est remonté.</p>	
En baisse	<p>En contexte de très faibles précipitations, les niveaux piézométriques sont en baisse. La situation de l'aquifère reste à un niveau modérément bas (2,5 ans secs).</p>	
En baisse	<p>En contexte de très faibles précipitations au mois de mai, les niveaux piézométriques sont en baisse. La situation de l'aquifère se détériore et atteint un niveau moyen.</p>	
B ↓	<p>piézométrique moyen correspond à des niveaux</p>	
B ↓	<p>piézométrique moyen correspond à des niveaux</p>	<p>Pour le quaternaire les situations sont dépendantes des relations localisées nappes / cours d'eau. Au droit des points suivis dans ce BSH, les niveaux piézométriques sont en baisse et la situation pour ce mois atteint des niveaux modérément bas à moyen.</p>
B ↓	<p>piézométrique moyen du mois de février correspond à des niveaux modérément bas sur les points de 10912X0111 et 10912X0112</p>	
B ↓	<p>des niveaux modérément bas sur les points de 10912X0111 et 10912X0112</p>	
B ↓	<p>2009-2022, la situation de début de l'été (niveau sur (piézomètre 10912X0111/BAR4) est similaire avec</p>	